



Expressão da Nanoinfiltração na Interface Dentina- Material de Quatro Materiais Retrobturadores

Chittoni, S.B; Só, M.V.R; Martini, T; Duarte M.A.H; Grecca F.S; Rosa R.; Kopper P.M.P; Santos R.B;



Laboratório de Endodontia
Departamento de Odontologia Conservadora
Faculdade de Odontologia- UFRGS
Porto Alegre - RS

INTRODUÇÃO

Um adequado selamento apical contribui para a reparação tecidual. Entretanto, nos casos em que radiograficamente temos uma boa obturação de canal, mas com persistência de uma lesão periapical, associada a sinais e sintomas, o retratamento endodôntico será a primeira opção. A cirurgia paradodôntica é uma alternativa quando o tratamento e o retratamento endodôntico não lograram sucesso, sendo o retropreparo da cavidade, com ultrassom, e a colocação do material retrobturador ferramentas importantes desse procedimento.

OBJETIVO

O objetivo desse estudo foi avaliar, ex vivo, a nanoinfiltração de quatro materiais retrobturadores, em dentes humanos extraídos, com tratamento endodôntico prévio e com cavidades retrógradas preparadas através do ultrassom.

METODOLOGIA



RESULTADOS

Tabela 1- Porcentagem (%) da área de dentina infiltrada com nitrato de Prata nos 4 grupos em função dos 3 mm apicais.

	Portland	MTA	Sealer26	EBA
	n mediana	n mediana	n mediana	n mediana
Apical-cervical	10 2,72 ^a	10 5,76 ^a	10 1,64 ^a	9 0,75 ^a
Apical-médio	10 2,41 ^a	10 5,29 ^a	10 4,02 ^a	9 2,98 ^a
Apical-apical	10 3,37 ^a	10 11,27 ^{ab}	10 6,56 ^{ab}	9 20,53 ^b

Letras iguais na mesma linha não diferem estatisticamente pelo teste de Kruskal Wallis e post-hoc Dunn. Nível de significância de 5%.

Tabela 2- Mediana de penetração linear, em mm, da infiltração na interface parede de dentina/material retrobturador para os 4 grupos.

Portland	MTA	Sealer 26	EBA
n mediana	n mediana	n mediana	n mediana
10 0,00 ^a	10 0,43 ^a	10 0,10 ^a	9 1,17 ^a

Letras iguais na mesma linha não diferem estatisticamente pelo teste de Kruskal Wallis. Nível de significância de 5%.

Tabela 3- Porcentagem (%) do número de dentes com nanoinfiltração nos 04 grupos experimentais

	com nanoinfiltração	sem nanoinfiltração	Total
Sealer 26	50 ^a	50	100
EBA	62,50 ^a	37,59	100
MTA	90,91 ^a	9,09	100
Portland	44,44 ^a	55,56	100

Letras iguais na mesma coluna não diferem estatisticamente pelo teste de Qui Quadrado. Nível de significância de 5%.

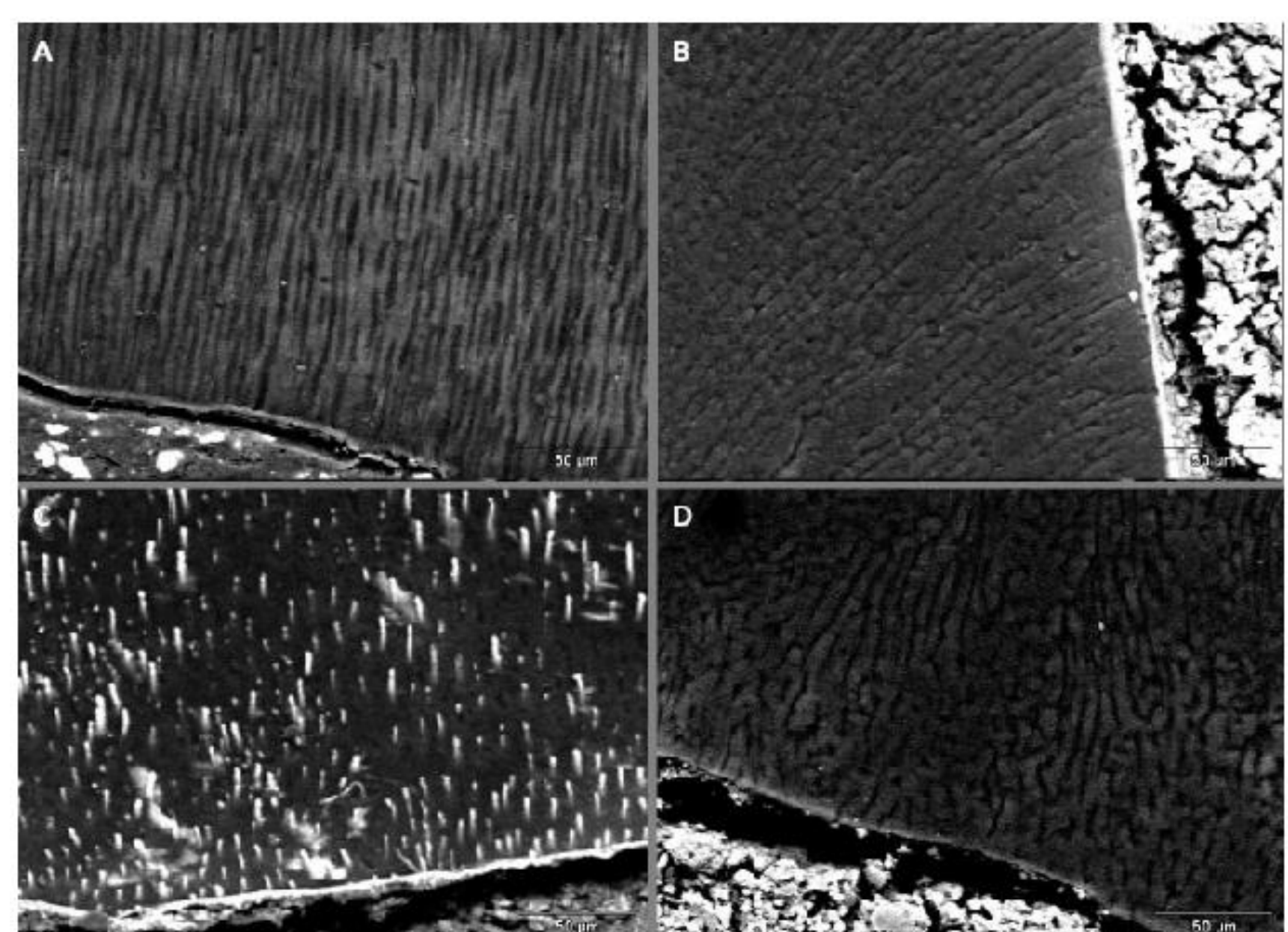


Figura 1-Nanoinfiltração das retrocavidades obturadas com Sealer 26 (A) e MTA branco (B) no segmento apical-cervical e com Super EBA (C) e cimento de Portland (D) no segmento apical-apical

Conclusões

- Nenhum material selou hermeticamente a retrocavidade, permitindo a ocorrência da nanoinfiltração.

- A maior porcentagem de área nanoinfiltrada e infiltração linear do marcador ocorreram no primeiro milímetro da retrocavidade (apico-apical) com maiores valores para o Super EBA.

- A porcentagem de área e a infiltração linear do marcador foram pequenas e similares para os quatro materiais retrobturadores a partir dos dois milímetros mais cervicais da retrocavidade.